

# تأثیر مشخصات هندسی ناپیوستگی‌ها بر رفتار هیدرولیکی و نشت آب از تکیه‌گاه‌های سدی سدهای بتنی قوسی

سعید یزدانی<sup>۱</sup>، محمود یزدانی<sup>۲\*</sup>، محمد تقی احمدی<sup>۳</sup>

۱- کارشناس ارشد خاک و پی، دانشگاه تربیت مدرس

۲- استادیار بخش مهندسی عمران، دانشکده فنی و مهندسی، دانشگاه تربیت مدرس

۳- استاد بخش مهندسی عمران، دانشکده فنی و مهندسی، دانشگاه تربیت مدرس

\* تهران، صندوق پستی ۱۴۱۱۵-۱۴۳

myazdani@modares.ac.ir

**چکیده**- یکی از مسائل مهم در طراحی سدهای بتنی قوسی، کترل و محدودسازی میزان نشت جریان از بالادست به پایین دست از طریق تکیه‌گاه‌ها است. بهدلیل شدت بارهای وارد شده از سد به تکیه‌گاه، معمولاً سدهای بتنی قوسی را در ساختگاه‌هایی بنا می‌کنند که تودهسنگ تکیه‌گاه‌های آن از شرایط سختی و مقاومت کافی برخوردار باشند. با این حال سنگهای سخت و مقاوم بهدلیل ماهیت شکننده، همواره حاوی تعدادی درزه یا ناپیوستگی هستند. از آنجا که این ناپیوستگی‌ها به عنوان مجاری جریان می‌توانند موجب تراوش زیاد آب از طریق تکیه‌گاه شده و حتی باعث ناپایداری تکیه‌گاهها شوند، لذا باید از نظر هیدرولیکی و همچنین مکانیکی به طور کامل مورد بررسی قرار گیرند. در این تحقیق سعی شده است که تأثیر مشخصات هندسی ناپیوستگی‌ها مانند امتداد دسته درزه‌ها و میزان شکاف دهانه آنها- بر رفتار هیدرولیکی تکیه‌گاه و میزان نشت از داخل آن مورد مطالعه قرار گیرد. همچنین تأثیر میزان شکاف دهانه ناپیوستگی‌ها -که پارامتری هیدرولیکی محسوب می‌شود- بر اینمنی تکیه‌گاه بررسی شده است. نتایج این تحقیق نشان می‌دهد که مشخصات هندسی ناپیوستگی‌ها تأثیر قابل ملاحظه و تعیین کننده‌ای بر میزان نشت از تودهسنگ تکیه‌گاه داشته و در مواردی می‌توانند اینمنی تکیه‌گاه را نیز به خطر بیندازد.

**کلید واژگان:** سد بتنی قوسی، توده سنگ درزه‌دار، نشت، تکیه‌گاه سد، ناپیوستگی‌های سنگی.

معمولًاً بیشتر تراوش در تودهسنگ از طریق ناپیوستگی‌های آن صورت می‌گیرد. سدهای بتنی قوسی به علت ساختار خاص سازه‌ای، همواره به تکیه‌گاه‌هایی با مقاومت و سختی زیاد نیاز دارند. از طرفی ساختار ناپیوستگی‌ها و جنس توده‌های سنگی نباید به گونه‌ای باشد که اجازه تراوش زیاد و غیرقابل کنترل آب از بالادست به پایین دست را از طریق تکیه‌گاهها بدهد. اگرچه استفاده از روش‌های بهسازی برای کنترل تراوش آب را همواره به عنوان یکی از راه حل‌ها

## ۱- مقدمه

به طور معمول توده‌های سنگی، از قطعات سنگی بکری تشکیل می‌شوند که توسط ناپیوستگی‌ها از هم جدا شده‌اند. سنگ بکر جسم پیوسته و منسجم سنگ است که فاقد هرگونه ناپیوستگی مهم است. البته در مقیاس کوچک سنگ بکر می‌تواند حاوی ریزترکهایی باشد که در فرایند تشکیل سنگ به وجود آمده‌اند. تراوش از داخل توده سنگ از طریق ناپیوستگی‌ها و ریزترکهای موجود در سنگ سالم رخ می‌دهد.

فشار آب پشت سد که با عمق سد تغییر می‌کند، پارامتر هیدرولیکی دیگری است که بر مقادیر نشت از تکیه‌گاه تأثیر می‌گذارد. به طور کلی پارامترهای هیدرولیکی مذکور علاوه بر نشت، بر پایداری تکیه‌گاه نیز بسیار مؤثر است.

Londe (1987) خرابی سد قوسی مالپاسه<sup>۱</sup> به ارتفاع ۶۲ متر واقع در جنوب فرانسه در نزدیکی مدیترانه را بررسی کرده است. در این تحقیق نشان داده شده که بر اثر فشردگی ناحیه پایین دست سد، زهکشی مناسب آب در این ناحیه انجام نشده و فشار آب در گسل‌های پی سد افزایش یافته و این به تشکیل یک بلوك ناپایدار سنگی، لغوش آن در تکیه‌گاه چپ و در نتیجه فروپاشی کل جناح چپ سد و دوران کل سازه سد حول تکیه‌گاه راست آن انجامیده است. Mgolobelov (1995) در مطالعات خود بر روی تکیه‌گاه سه سد بتُنی قوسی، وجود ناحیه خطرناک کششی در بالادست سد را -که بیشترین میزان نشت از آنجا رخ می‌دهد- نتیجه گرفت. این نشان از اهمیت نقش مسائل هیدرولیکی تکیه‌گاه بر اینمنی و پایداری سد دارد.

بیشتر مطالعات عددی انجام شده بر روی تکیه‌گاه سدهای بتُنی قوسی با هدف ارزیابی پایداری توده‌سنگ تکیه‌گاه در شرایط مختلف انجام شده و نقش کمی و کیفی ناپیوستگی‌ها در ارتباط با پاسخ هیدرولیکی توده‌سنگ درزه‌دار، کمتر ارزیابی شده است. نگاه کلی به وضعیت تکیه‌گاههای سدهای بتُنی قوسی در حال ساخت به ویژه در کشور ما نشان می‌دهد که هزینه‌های مربوط به کنترل نشت از تکیه‌گاهها -که شامل حفر گالریهای تزریق و اجرای پرده آبیند می‌شود- گاهی بسیار بیشتر از هزینه‌هایی است که ممکن است برای تأمین پایداری تکیه‌گاهها صرف شود. علاوه بر این، مشکلات هیدرولیکی، خود می‌تواند باعث ناپایداری تکیه‌گاهها شود؛ لذا بررسی مسئله تراوش و پارامترهای موثر بر آن در مورد تکیه‌گاه سدهای بتُنی قوسی بسیار حیاتی است.

می‌توان بررسی کرد. از آنجا که به دلایل سازه‌ای، فقط از توده‌های سنگی سخت به عنوان تکیه‌گاه سدهای بتُنی قوسی استفاده می‌شود، در مطالعه جریان آب از داخل تکیه‌گاه می‌توان میزان تراوش از داخل سنگ را ناچیز و در حد صفر در نظر گرفته و بیشتر تراوش را از طریق کانالهای ناپیوستگی فرض کرد.

بر طبق قوانین مکانیک سیالات نشان داده می‌شود که با فرض عبور جریان لایه‌ای برای سیال نیوتونی تراکم ناپذیر از میان صفحات موادی، دبی جریان، با توان سوم فاصله میان صفحات مناسب است. لذا اندازه شکاف اولیه هیدرولیکی پارامتری بسیار مهم در بحث تراوش از میان ناپیوستگی‌های سنگی است.

جریان آب تحت فشار، بسته به میزان تنش‌های وارد شده از طرف بدنه سد به تکیه‌گاه و همچنین جهت ناپیوستگی‌ها، می‌تواند بر تنش‌های نرمال سطح تماس دیوارهای ناپیوستگی غلبه کرده و با باز کردن بیشتر مجاری جریان، توزیع تنش‌ها در توده سنگ را تغییر دهد. تغییر میدان تنش، خود می‌تواند بر تغییر شکل محیط (که بیشتر به شکل لغزش و بازشدگی در محل ناپیوستگی‌ها است) و در نتیجه نفوذپذیری توده‌سنگ تأثیر گذاشته که آن هم به نوبه خود باعث تغییر خطوط هم‌پتانسیل و شبکه جریان می‌شود. در مقابل، این تغییرات هیدرولیکی منجر به تغییر میدان تنش بر اثر نیروهای تراوش می‌شود. این فرایند دو طرفه که از آن به عنوان اندرکنش هیدرومکانیکی تعییر می‌شود، آنقدر ادامه می‌یابد تا محیط به تعادل برسد. براساس تعریف فوق، جهت ناپیوستگی‌ها نسبت به امتداد نیروی وارد شده از طرف بدنه سد و همچنین نسبت به امتداد فشار آب مخزن، پارامتر هیدرولیکی دیگری است که به طور غیر مستقیم بر پاسخ هیدرولیکی و نشت از تکیه‌گاه این گونه سدها تأثیر می‌گذارد. این مسئله وقتی ملموس‌تر می‌شود که بدانیم در شبکه آبرسانی، شکل و الگوی قرارگیری لوله‌ها نسبت به یکدیگر بر میزان دبی خروجی بسیار مؤثر است.

1. Malpasset

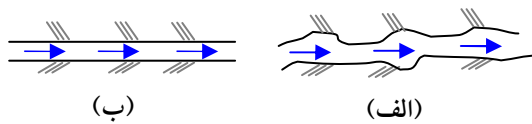
$$e_0 = \frac{JRC}{5} \left( \frac{0.2\sigma_c}{JCS - 0.1} \right) \quad (1)$$

که  $e_0$  اندازه شکاف اولیه مکانیکی معادل بوده و JRC و  $\sigma_c$  به ترتیب ضریب زبری جدار ناپیوستگی، مقاومت فشاری جدار ناپیوستگی و مقاومت فشاری بلوك سنگی سالم است.

اندازه شکاف اولیه هیدرولیکی معادل نیز برای محاسبات هیدرولیکی ناپیوستگی‌ها از رابطه زیر تعیت می‌کند (Barton et al., 1985):

$$a_0 = \frac{e_0^2}{JRC^{2.5}} \quad (2)$$

که  $a_0$  اندازه شکاف اولیه هیدرولیکی است.



شکل ۱ شکل ناپیوستگی (الف) اندازه شکاف واقعی و متغیر (ب) اندازه شکاف معادل و ثابت.

در حالتی که ناپیوستگی با مواد سست و ضعیف پر می‌شود، انتخاب صحیح پارامترهای هیدرولیکی و مکانیکی برای ناپیوستگی‌های موجود در توode سنگ بسیار مشکلی است. در این حالت خواص هیدرولیکی و مقاومتی ناپیوستگی‌ها، به ویژگی‌های مواد پرکننده، جایه‌جایی برشی ایجاد شده، ماهیت سطح درزه و ضخامت مواد پرکننده بستگی دارد. برای مثال نفوذپذیری ناپیوستگی که با خاک رس پر شده برابر با نفوذپذیری رس است.

### ۳- شبیه‌سازی رفتار هیدرولیکی درزه‌ها با استفاده از نرم‌افزار UDEC

UDEC نوعی نرم‌افزار محاسبات عددی دوبعدی است که برای شبیه‌سازی محیط‌های ناپیوسته بر اساس روش المان مجزا به کار می‌رود. این نرم‌افزار پاسخ محیط‌های ناپیوسته (مانند توode سنگ درزه‌دار) را برای بارگذاریهای استاتیکی

در این تحقیق با استفاده از نرم‌افزار UDEC که برای مدل‌سازی محیط‌های ناپیوسته براساس روش المانهای مجزا تهیه شده و بهخوبی نقش ناپیوستگی‌ها و اندرکنش هیدرولیکی را در محیط‌های توode سنگی ملحوظ می‌کند، پاسخ هیدرولیکی و میزان نشت آب از تکیه‌گاه سدهای بتونی قوی مطالعه شده است. همچنین تأثیر پارامترهای هیدرولیکی ناپیوستگی‌ها بر روی ایمنی تکیه‌گاه و سازه سد ارزیابی شده است.

### ۲- رفتار هیدرولیکی درزه‌های سنگی

همان‌طور که در خاک، رابطه تجربی دارسی برای بیان شدت جریان و گرادیان هیدرولیکی در محیط متخالخل برقرار است، به منظور تعیین خصوصیات هیدرولیکی ناپیوستگی‌ها نیز آزمایش‌های بسیار زیادی انجام شده تا رابطه‌ای بین شدت جریان و گرادیان هیدرولیکی با استفاده از روش‌های تجربی و تحلیلی برای این محیط به دست آورد. مساله جریان درون ناپیوستگی را به‌وسیله معادلات مایعات لرج تراکم‌ناپذیر ناویراستوکس می‌توان توصیف کرد. معادلات دیفرانسیل ناویر استوکس را در حالت کلی نمی‌توان حل کرد. بنابراین با فرض جریان لایه‌ای و با فرض اینکه سرعت عمود بر صفحه ناپیوستگی برابر صفر است: نفوذپذیری ناپیوستگی از رابطه  $\frac{g.(a)^3}{12\nu}$  به‌دست می‌آید (Barton et al., 1985)، که  $a$  لرجه سینماتیکی سیال و  $a$  شکاف اولیه هیدرولیکی (باشدگی اولیه هیدرولیکی) ناپیوستگی است.

ناپیوستگی‌های توode سنگ درزه‌دار معمولاً جدارهای ناهمواری دارند و اندازه شکاف اولیه در طول هر ناپیوستگی مقدار ثابتی نیست. در تحلیل مسائل هیدرولیکی (و مکانیکی) با توجه به نقش اساسی ناپیوستگی‌ها، از اندازه شکاف متوسط و معادل استفاده می‌شود. با توجه به شکل ۱ اندازه شکاف مکانیکی معادل در طول ناپیوستگی از رابطه تجربی زیر محاسبه می‌شود (Barton and Bandis, 1987)

درزه‌های بین دو بلوك توسط دو دامنه ۳ و ۴ شبیه‌سازی می‌شود. اگر شبکه‌بندی ریزتری مورد نظر باشد باید از تعداد بیشتری دامنه در مجاورت هم استفاده شود. در غیاب نیروی جاذبه فرض می‌شود که فشار سیال به طور یکنواخت پخش می‌شود. در مسائلی که نیروی جاذبه وجود دارد، فرض می‌شود که فشار هیدرواستاتیکی حاکم است. بهبیان دیگر فشار سیال مربوط به هر دامنه در راستای جاذبه به صورت خطی تغییر می‌کند و فشار سیال مربوط به هر دامنه برابر با فشار وسط آن است. جریان به علت تفاوت فشار سیال در دو دامنه مجاور ایجاد می‌شود. نرخ جریان، بسته به نوع نقطه تماس به دو طریق محاسبه می‌شود. برای هر نقطه تماس نرخ جریان (از یک دامنه با فشار  $P_1$  به یک دامنه با فشار  $P_2$ ) از رابطه زیر محاسبه می‌شود:

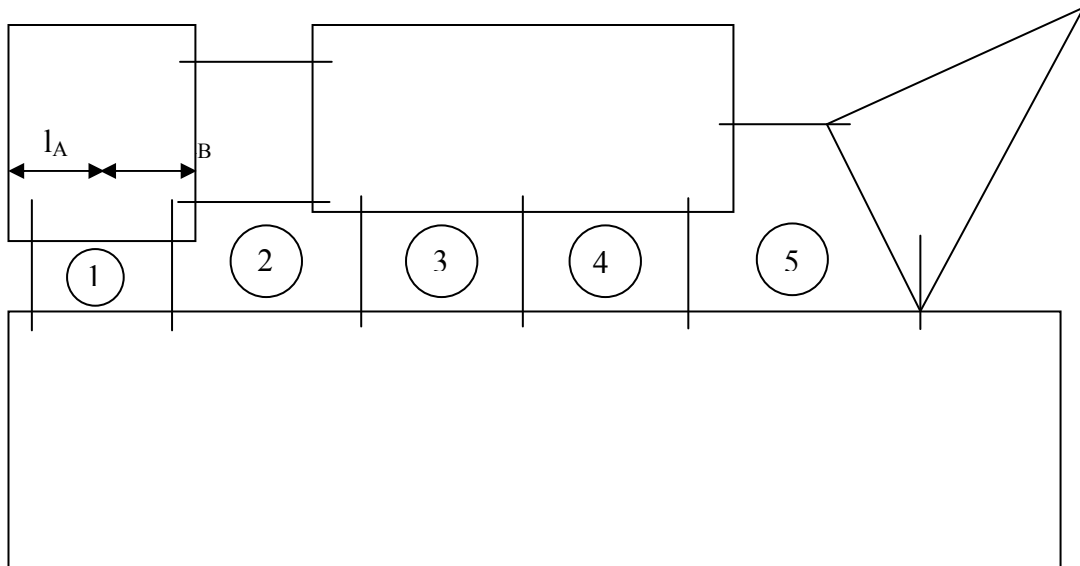
$$q = k_c \Delta p \quad (3)$$

$$\text{که } k_c \text{ پارامتر نفوذپذیری نقطه تماس است و} \\ \Delta p = p_2 - p_1 + \rho_w g(y_2 - y_1) \quad (4)$$

که  $\rho_w$  چگالی سیال و  $g$  شتاب نقل است (که فرض می‌شود در خلاف جهت  $y$  عمل می‌کند).  $y_1$  و  $y_2$  مختصات مراکز دامنه‌های مجاور است.

و دینامیکی شبیه‌سازی می‌کند. UDEC قابلیت شبیه‌سازی جریان سیال از میان درزه‌های سیستم نفوذپذیر را داشته و نوعی تحلیل هیدرومکانیکی کامل در آن انجام می‌شود که در طی آن نفوذپذیری درزه‌ها، به تغییر شکل مکانیکی آنها بستگی دارد. همچنین رفتار مکانیکی درزه‌ها، بر اساس تنش موثر تحلیل می‌شود.

در این نرم‌افزار روشی خاص برای نمایش دو بعدی ناپیوستگی بین بلوكهای سنگی به کار می‌رود. ناپیوستگی‌ها در واقع شبکه‌ای از حفره‌های به هم پیوسته و کانال‌ها هستند که با عنوان دامنه معرفی می‌شوند. در شکل ۲ دامنه‌ها از ۱ تا ۵ شماره گذاری شده‌اند. شماره‌های ۱، ۲، ۳ و ۴ نشان دهنده درزه‌ها، شماره ۲ محل تقاطع دو درزه و شماره ۵ بیانگر حفره است. دامنه‌ها توسط نقاط تماس از یکدیگر جدا می‌شوند. این نقاط تماس بیانگر نیروهای ناشی از اندرکنش مکانیکی بلوكهای سنگی می‌باشند. قابلیت شکل‌پذیری بلوكها توسط المانهای سه گوش مدل‌سازی می‌شود. نقاط تماس ممکن است در محل نقاط شبکه بلوكها یا در امتداد لبه‌ها و در نقاط دیگر باشند. برای مثال در شکل ۲ نقطه D این خصوصیات را دارد.



شکل ۲ تعاریف دامنه مورد استفاده در UDEC

در لبه‌ها اعمال می‌شود، به دست می‌آید. این نیرو را می‌توان با سایر نیروها مانند نیروی مکانیکی و بارهای خارجی (مرزی) جمع کرد تا تنش مؤثر در هر نقطه تماس حاصل شود.

## ۴- شاخص‌های هیدرولیکی و ایمنی توده‌سنگ درزه‌دار

ارزیابی کمی و کیفی پاسخ هیدرولیکی و مکانیکی تکیه‌گاه سدهای بتنی قوسی به وسیله روش‌های عددی، مستلزم استفاده از شاخص‌های هیدرولیکی و ایمنی مرتبط با محیط‌های توده‌سنگی درزه‌دار است. در همین راستا و برای ملموس شدن فرایند، از سه شاخص هیدرولیکی بیشینه دبی عبوری، بیشینه بازشدگی و نشت استفاده شده است. نشت به صورت حجم کل آبی که در واحد زمان در پایین دست سد از تکیه‌گاه خارج می‌گردد تعريف می‌شود. بیشینه دبی، عبوری و بیشینه بازشدگی به ترتیب بیشترین حجم آب گذرنده در واحد زمان و بیشترین بازشدگی ناپیوستگی‌ها است که در محل ناپیوستگی ایجاد می‌شود. البته محل ناپیوستگی (نقاط تماس) مربوط به بیشینه دبی، الزاماً بر محل مربوط به بیشینه بازشدگی منطبق نیست. برای بررسی پایداری تکیه‌گاه نیز از شاخص گسیختگی به نام بیشینه لغزش ناپیوستگی‌ها استفاده شده است. در این مورد نیز منظور، حداکثر میزان لغزشی است که در کل ناپیوستگی‌های تکیه‌گاه رخ داده و مربوط به یک نقطه تماس است. با توجه به اینکه نشت زیاد یا دبی زیاد عبوری از یک ناپیوستگی، خود می‌تواند باعث ناپایداری تکیه‌گاه شود، لذا شاخص‌های هیدرولیکی به طور غیرمستقیم، خود نوعی شاخص ایمنی نیز می‌توانند باشند.

## ۵- تحلیل تراوش از تکیه‌گاه سد بتنی قوسی

در این تحقیق نوعی محیط توده‌سنگی دو بعدی به عنوان تکیه‌گاه سد بتنی قوسی فرضی شبیه‌سازی شده است. در این شبیه‌سازی هندسه‌ای به صورت شکل ۳ در نظر

در مواردی که تماس لبه به لبه وجود دارد می‌توان نوعی طول تماس را تعریف کرد (برای مثال در شکل ۲،  $L_A$  و  $L_B$  طول تماس A و B را نشان می‌دهد). در این مورد قانون مکعب می‌تواند در مورد جریان در ناپیوستگی‌های دو بعدی به کار رود. در این حالت دبی جریان با رابطه ذیل توصیف می‌شود:

$$q = ba^3 \Delta p / l \quad (5)$$

که در آن  $b$  پارامتر نفوذپذیری است (مقدار تئوری آن  $1/12l$  است که ملزم‌جات دینامیکی سیال است).  $a$  و  $l$  به ترتیب بازشدگی هیدرولیکی در نقطه تماس و طول تعريف شده برای نقطه تماس در دامنه است. در UDEC کاربر می‌تواند  $b$  را تعريف کند و از توان غیر ۳ استفاده نماید. در حالت کلی بازشدگی هیدرولیکی عبارت است از:

$$a = a_0 + u_n \quad (6)$$

که  $a_0$  و  $u_n$  به ترتیب بازشدگی اولیه درزه در محل نقطه تماس تحت تنش صفر و تغییر مکان نرمال درزه در اثر بارگذاری است. قابل ذکر است که بازشدگی با علامت مثبت و بسته شدن با علامت منفی منظور می‌شود.

برنامه UDEC روش خاصی را برای حل معادلات حرکت و دینامیک سیستم به کار می‌برد. این الگوریتم دینامیکی برای مسائل شبیه دینامیکی نیز قابل استفاده است. در هر گام محاسباتی مکانیکی، هندسه سیستم مشخص می‌شود؛ بنابراین پارامترهای هندسی (بازشدگی و لغزش) در هر نقطه تماس، مقادیر جدیدی پیدا کرده و حجم دامنه‌ها در هر گام محاسبه می‌شود. فشار دامنه نیز در هر گام به صورت زیر به دست می‌آید:

$$P = P_0 + k_w Q \Delta t / V - k_w \Delta V / V_m \quad (7)$$

که  $P_0$  و  $Q$  به ترتیب فشار دامنه در اولین گام، مجموع دبی‌های گذرنده از نقاط تماس مجاور دامنه و مدول بالک سیال است. همچنین  $V_m = (V + V_0)/2$  و  $\Delta V = V - V_0$  که  $V$  و  $V_0$  حجم دامنه در دو گام متوالی محاسباتی است. با محاسبه فشار جدید در هر دامنه، نیرویی که توسط سیال

درزه‌های متعامد  $+20$  و  $-70$  درجه،  $+30$  و  $-60$  درجه،  $+45$  و  $-45$  درجه،  $+60$  و  $-30$  درجه،  $+80$  و  $-10$  درجه،  $+90$  و صفر درجه نسبت به افق ملحوظ می‌شود. به عنوان مثال در شکل ۳ دسته درزه‌های متعامد  $+45$  و  $-45$  درجه نشان داده شده است. ناپیوستگی‌های شبیه‌سازی شده در این مدل بر اساس مدل رفتاری موهر-کولمب الاستوپلاستیک کامل عمل می‌کنند. با تأکید بر نقش ناپیوستگی‌ها در این تحقیق، رفتار مکانیکی بلوك‌ها نیز به صورت الاستیک فرض می‌شود. در همه حالتها دسته درزه‌های متعامد نسبت به دسته درزه‌های با زاویه تندر و منفرجه، بحرانی‌ترین حالت را تشکیل می‌دادند، به همین دلیل در این تحقیق از دسته درزه‌های متعامد استفاده شد. با این حال اثر جهت‌یافتنگی (زاویه امتداد) ناپیوستگی‌ها به تنها ی و متعامد و غیر متعامد بودن آنها نسبت به جهت جریان آب، شکل و موقعیت هندسی تکیه‌گاه و جهت بار فشاری سد به تکیه‌گاه نیز قابل بررسی و تفسیر است.

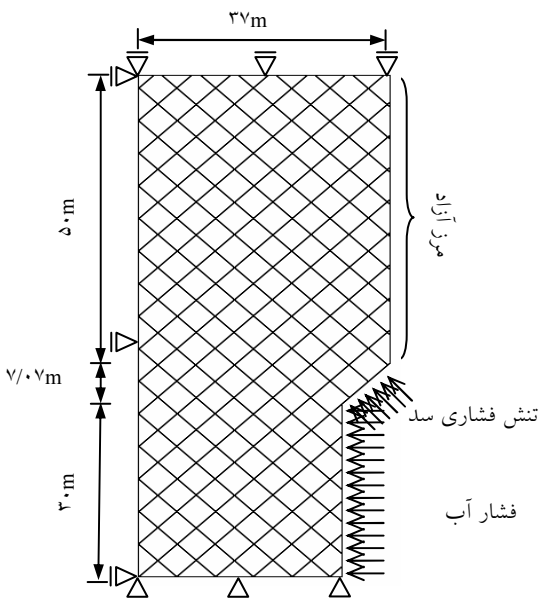
در ضمن بازشدگی اولیه دسته درزه‌های  $+20$ ،  $+30$ ،  $+45$ ،  $+60$ ،  $+80$  و  $+90$  برابر  $0/5$  میلی‌متر و دسته درزه‌های متعامد متناظر آنها یعنی  $-70$ ،  $-60$ ،  $-45$ ،  $-30$ ،  $-10$  و صفر درجه برابر صفر است. سایر خصوصیات مکانیکی همه دسته درزه‌های متعامد همان‌طور که در جدول ۱ آمده، یکسان فرض شده است.

که  $k_n$ ،  $\varphi$ ،  $c$ ،  $\sigma_0$  و  $\gamma$  به ترتیب سختی نرم‌مال، سختی برشی، زاویه اصطکاک، چسبندگی، مقاومت کششی و زاویه اتساع ناپیوستگی‌ها بوده و  $E$  و  $\nu$  نیز به ترتیب مدل تغییر شکل و ضریب پواسن بلوك سنگی است.

## ۶- نتایج تحلیلها

در این تحقیق دو گروه تحلیل انجام شده است. در گروه اول تحلیلها، تأثیر پارامترهای هیدرولیکی ناپیوستگی‌ها (اندازه شکاف اولیه هیدرولیکی و الگوی هندسی دسته درزه‌ها) بر شاخص‌های هیدرولیکی تکیه‌گاه مانند بیشینه

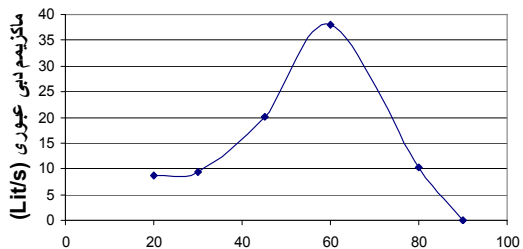
گرفته شده که بر اساس آن ضخامتی از سد که با تکیه گاه در تماس است  $10$  متر منظور شده و به جای شبیه‌سازی بدن سد، نیرویی را که بر تکیه گاه وارد می‌کند اعمال می‌کنیم. طولی از تکیه گاه که در تماس با آب پشت سد است  $30$  متر فرض شده و از طریق اعمال فشار مکانیکی همراه با هد هیدرولیکی، تأثیر آب پشت سد شبیه‌سازی می‌شود.



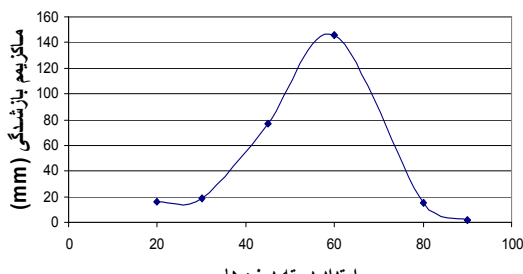
شکل ۳ تکیه‌گاه شبیه‌سازی شده

برای تخمین نیروهای وارد بر تکیه‌گاه از طرف سد و مخزن، قسمتی از سد با طول قوس  $100$  متر، ضخامت  $10$  متر و ارتفاع واحد در نرم‌افزار المان محدود SAP بهمراه تکیه‌گاه‌های آن شبیه‌سازی شد. مدل شبیه‌سازی شده، در عمق  $200$  متری سطح نرم‌مال ایستایی آب مخزن فرض شده که فشاری برابر  $P0=2MPa$  بر بدن سد ایجاد می‌کند. برای آنکه نتایج به حالت سه‌بعدی و واقعی نزدیک شود، در تراز مربوط وزن روباره با توجه خصوصیات سنگ بکر در جدول ۱ محاسبه و استفاده شد. بر اساس خروجی‌های نرم‌افزار SAP، نش وارد بر تکیه‌گاه از طرف بدن سد برابر  $10$  مگاپاسکال برآورد شد. در این تحقیق زوج دسته

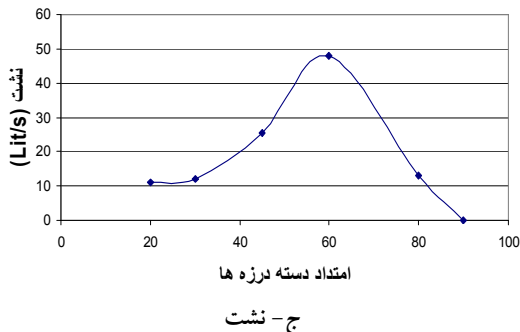
امتداد دسته درزه از دسته درزه‌های متعامد را نشان می‌دهد؛ برای مثال دسته درزه  $+45$  درجه معرف دسته درزه‌های متعامد  $+45$  و  $-45$  درجه است.



الف - حداکثر بازشدگی



ب - حداکثر دبی عبوری



ج - نشت

شکل ۴ تغییرات شاخص‌های هیدرولیکی

در مقابل امتداد دسته درزه‌ها

شکل ۴ نشان می‌دهد که شاخص‌های هیدرولیکی تکیه‌گاه سد، تابعی غیرخطی از امتداد دسته درزه‌ها هستند. این شکل نشان می‌دهد که وضعیت دسته درزه متعامد  $+60$  و  $-30$  بحرانی‌تر از دیگر دسته درزه‌های متعامد است. برای مثال در این دسته درزه میزان بیشینه دبی عبوری، بیشینه بازشدگی و نشت کل، به ترتیب برابر  $38$  لیتر بر ثانیه،  $145$  میلی‌متر و  $48$  لیتر بر ثانیه است که حدود دو برابر مقادیر

دبی عبوری از ناپیوستگی‌ها، بیشینه بازشدگی ناپیوستگی‌ها و نشت ارزیابی شده است. در گروه دوم تحلیلهای برای ارزیابی تأثیر پارامترهای هیدرولیکی دسته درزه‌ها بر اینمنی تکیه‌گاه و سازه سد، تأثیر اندازه شکاف اولیه هیدرولیکی دسته درزه‌ها بر شاخص گسیختگی تکیه‌گاه بررسی شده است.

جدول ۱ مشخصات مکانیکی بلوکهای سنگی و درزه‌ها\*

بلوک سنگی	دسته درزه $-45$ درجه	دسته درزه $45$ درجه
$k_n = 100 \text{ Gpa/m}$	$k_s = 100 \text{ Gpa/m}$	$E_s = 10 \text{ Gpa}$
$k_n = 100 \text{ Gpa/m}$	$k_s = 100 \text{ Gpa/m}$	$\nu = 0.3$
$\varphi = 35$	$\varphi = 35$	$\gamma = 2700 \text{ kg/m}^3$
$c = 0.1 \text{ Mpa}$	$c = 0.1 \text{ Mpa}$	
$\sigma_t = 0$	$\sigma_t = 0$	
$\psi = 5$	$\psi = 5$	

\* گردآوری شده از:

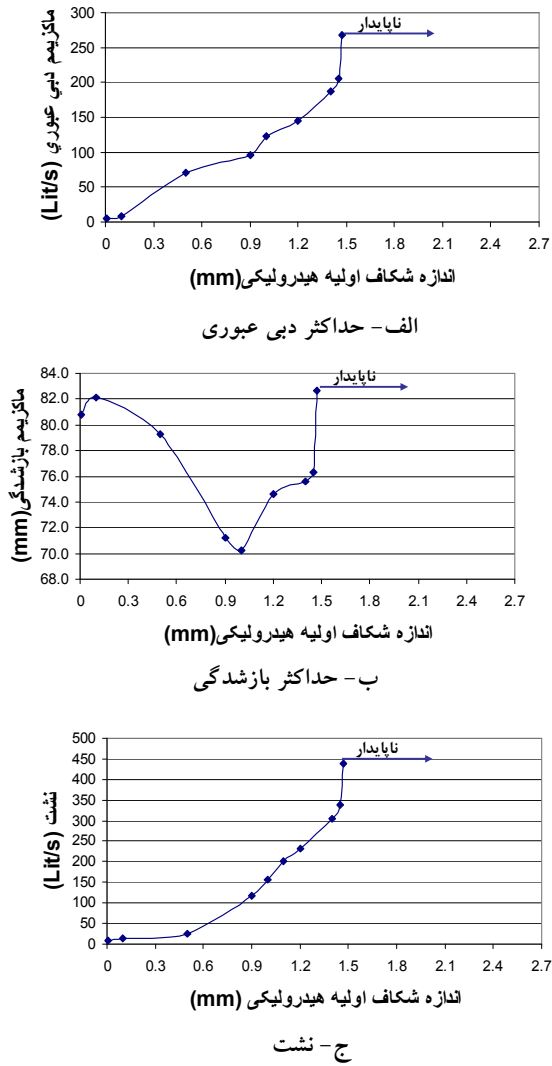
Manual of UDEC, User's Guide, Section 1, "Introduction".

لازم است ذکر شود که مطالعه جداولهای نیز توسط نگارنده‌گان بر روی تأثیر اندازه مدل بر شاخصهای هیدرولیکی انجام شده که شرح آنها در [۹] آورده شده است. نتایج نشان می‌دهد که اگرچه ابعاد مدل می‌تواند بر نتایج تأثیر بگذارد اما در روند و کیفیت تغییرات پارامترها کمترین اثر را دارد.

## ۶-۱- گروه اول تحلیلهای

بعد از اعمال بارگذاری‌ها بر تکیه‌گاه شبیه‌سازی شده در شکل ۳، پارامترهای بیشینه دبی عبوری از ناپیوستگی‌ها، بیشینه بازشدگی ناپیوستگی‌ها و نشت جریان از تکیه‌گاه به عنوان شاخصی برای عبور جریان از تکیه‌گاه استخراج شد.

شکل ۴ تأثیر امتداد دسته درزه‌ها را بر بیشینه دبی عبوری از ناپیوستگی‌ها، بیشینه بازشدگی ناپیوستگی‌ها و میزان نشت از تکیه‌گاه نشان می‌دهد. محور افقی این شکلها



شکل ۵ تغییرات مشخصهای هیدرولیکی به ازای تغییر اندازه اولیه (برای دسته درزهای متعامد +۴۵ و -۴۵ درجه)

## ۶- گروه دوم تحلیلهای

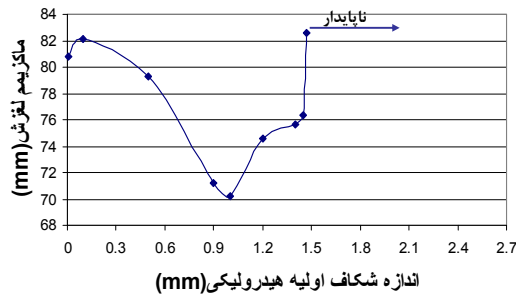
برای ارزیابی تأثیر پارامترهای هیدرولیکی دسته درزهای برایمنی تکیه‌گاه و سازه سد، فقط تأثیر اندازه شکاف اولیه هیدرولیکی دسته درزهای برایمنی تکیه‌گاه برسی شد. در این حالت نیز دسته درزهای متعامد +۴۵ و -۴۵ درجه و صفر درجه مدنظر قرار گرفت. نتایج این تحلیل در شکلهای ۷ و ۸ نشان داده شده است.

نظیر در دسته درزهای +۴۵ و -۴۵ با مقادیر ۲۰ لیتر بر ثانیه، ۷۵ میلی‌متر و ۲۶ لیتر بر ثانیه است.

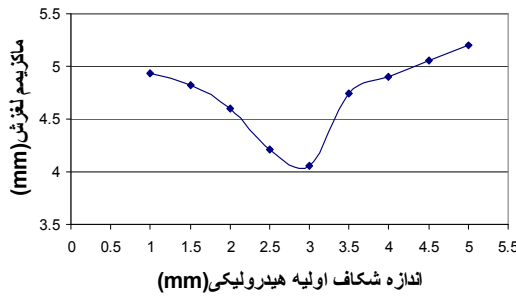
در ادامه تحلیلهای گروه اول، تأثیر اندازه شکاف اولیه هیدرولیکی ناپیوستگی‌ها بر سه مشخصه شاخص هیدرولیکی: میزان بیشینه دبی عبوری و بیشینه بازشدگی که در یک درزه اتفاق می‌افتد و همچنین میزان نشت کل از تمام تکیه‌گاه بررسی می‌شود. شکلهای ۵ و ۶ تغییرات این سه مشخص را به ازای اندازه شکاف اولیه هیدرولیکی به ترتیب برای دسته درزهای متعامد +۴۵ و -۴۵ درجه و +۹۰ و صفر درجه نشان می‌دهند.

لازم است توضیح داده شود که شکاف اولیه هیدرولیکی دسته درزهای -۴۵ و صفر درجه ثابت و برابر صفر در نظر گرفته شده و فقط مقادیر مربوط به دسته درزهای +۴۵ و +۹۰ تغییر داده شده است. همان‌طور که در شکل ۵ مشخص است در حالت دسته درزهای متعامد +۴۵ و ۱/۴۸ درجه و اندازه شکاف اولیه هیدرولیکی ۱/۴۸ میلی‌متر مقادیر هر سه مشخص به‌نحوی غیرقابل کنترل روندی افزایشی پیدا می‌کنند. با توجه به این روند می‌توان پیش‌بینی کرد که این اندازه شکاف هیدرولیکی اولیه (۱/۴۸ میلی‌متر) بحرانی بوده و به ازای آن ناپایداری در تکیه‌گاه به وجود خواهد آمد.

در صورتی که در دسته درزهای متعامد +۹۰ و صفر درجه چنین روندی مشاهده نمی‌شود. در عوض مقادیر بیشینه دبی و نشت کل در این دسته درزه از دسته درزهای +۴۵ و -۴۵ بسیار بیشتر است. به‌طور کلی در دسته درزهای +۹۰ و صفر برای بازشدگی‌های اولیه بیشتر از ۲ میلی‌متر، مشکل نشت بسیار شدید است. به عنوان مثال برای بازشدگی اولیه  $3/5$  میلی‌متر میزان نشت از یک تکیه‌گاه سد بیشتر از  $2/5$  مترمکعب به دست آمده است. با توجه به اینکه این میزان نشت مربوط به یک متر ارتفاع سد است، میزان کل نشت در تمام ارتفاع سد می‌تواند بسیار زیاد باشد که راهکارهای آبیندی را ضروری می‌سازد.



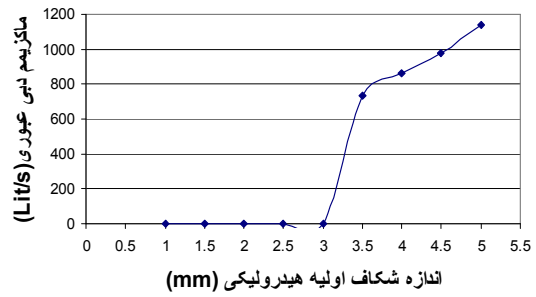
شکل ۷ تغییرات شاخص گسیختگی به ازای تغییر اندازه شکاف اولیه (برای دسته درزهای متعامد  $+45$  و  $-45$  درجه)



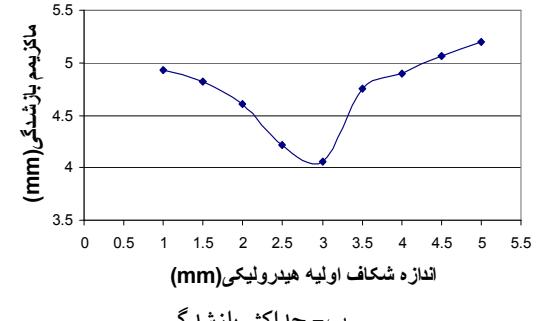
شکل ۸ تغییرات شاخص گسیختگی در مقابل اندازه شکاف اولیه (برای دسته درزهای متعامد  $+90$  و  $0$  درجه)

البته همان‌طور که در گروه اول تحلیلها مشخص شد، باید توجه داشت که در خصوص نشت، وضعیت در دسته درزهای  $+90$  و صفر درجه بحرانی‌تر است. همچنین دیده می‌شود که بین شاخص گسیختگی لغزش و پارامتر هیدرولیکی اندازه شکاف اولیه هیدرولیکی، رابطه‌ای غیرخطی وجود دارد که در قسمتی از آن شاخص گسیختگی روند نزولی و در قسمت دیگر روندی صعودی دارد. برای دسته درزهای  $90$  و صفر درجه نیز نتایج مشابهی بدست آمده است.

لازم است ذکر شود که در این قسمت از تحلیل برای مشخص شدن روند گسیختگی کلی چند دستور در قسمت برنامه‌نویسی نرم‌افزار UDEC اضافه شد. با استفاده از این دستورها، بر اساس مشاهده جابه‌جایی و سرعت نقاط مختلف، گسیختگی کلی تکیه‌گاه و ناحیه‌ای که گسیختگی کلی در آن صورت می‌گیرد قابل مشاهده است.



الف - حداکثر دبی غوری



ب - حداکثر بازشدگی



ج - نشت

شکل ۶ تغییرات شاخص‌های هیدرولیکی در مقابل اندازه شکاف اولیه (برای دسته درزهای متعامد  $+90$  و  $0$  درجه)

این شکلها به ترتیب نتایج مربوط به دسته درزهای متعامد  $+45$  و  $-45$  درجه و  $+90$  و صفر درجه را نشان می‌دهد. برای الگوی هندسی اول و در لحظه گسیختگی (اندازه شکاف اولیه هیدرولیکی  $1/48$  میلی‌متر) شاخص گسیختگی  $82/7$  میلی‌متر است. در حالی‌که برای الگوی هندسی دوم در اندازه شکاف اولیه هیدرولیکی  $5$  میلی‌متر نیز تکیه‌گاه پایدار است و شاخص گسیختگی  $5/24$  میلی‌متر است. این نتایج به وجود شرایط پایدار در دسته درزهای  $+90$  و صفر درجه نسبت به دسته درزهای  $+45$  و  $-45$  درجه اشاره دارد.

هر یک از سه شاخص هیدرولیکی در امتدادهای مختلف رفتاری کاملاً مشابه دارند، بهنحوی که برای دسته درزهای متعامد  $+90^\circ$  و صفر درجه کمترین مقدار و برای دسته درزهای  $+60^\circ$  و  $-30^\circ$  درجه بیشترین مقدار شاخص‌های هیدرولیکی به‌دست می‌آید. بهمین دلیل این دو الگوی هندسی در شرایط اندازه شکاف اولیه هیدرولیکی  $0/5$  و صفر میلی‌متر برای هر زوج دسته درزه به ترتیب دارای کمترین و بیشترین تراوایی هستند. این موضوع می‌تواند کمک شایانی در تشخیص اهمیت مسئله نشت از تکیه‌گاه‌های سد بتی قوسی با ناپیوستگی‌های از پیش موجود داشته باشد.

در شکل ۵ با توجه به روند تغییرات بسیار زیاد شاخص‌های هیدرولیکی در اندازه بحرانی شکاف اولیه هیدرولیکی  $1/48$  میلی‌متر می‌توان پیش‌بینی کرد که این مسئله به ناپایداری تکیه‌گاه خواهد انجامید. در واقع در حالت دسته درزهای  $+45^\circ$  و  $-45^\circ$  درجه شاخص‌های هیدرولیکی، خود شاخص گسیختگی نیز هستند. به علاوه مقایسه دو شاخص هیدرولیکی میزان نشت و بیشینه دبی عبوری نشان می‌دهد که هر دو شاخص، رفتاری مشابه داشته و بیشتر جریان نیز فقط از طریق یک ناپیوستگی انجام می‌شود. نتایج تراوش از میان ناپیوستگی‌ها همچنین نشان می‌دهد که محل ناپیوستگی با حداقل دبی، در بالادست سد و در مجاورت مخزن است. بر طبق قانون مکعب نفوذپذیری ناپیوستگی‌ها و توده‌سنگ با مکعب اندازه شکاف اولیه هیدرولیکی مرتبط است؛ به همین دلیل رفتارهای مشاهده شده از شاخص‌های نشت و بیشینه دبی عبوری از ناپیوستگی‌ها قابل انتظار است.

در شکل ۵ دیده می‌شود که شاخص هیدرولیکی بیشینه بازشدنگی در قسمتی از مسیر، همزمان با افزایش دو شاخص هیدرولیکی دیگر، افت پیدا می‌کند. بنابراین به نظر می‌رسد که استفاده از این شاخص برای توصیف پاسخ هیدرولیکی تکیه‌گاه مناسب نباشد. در توجیه رفتار شاخص بیشینه بازشدنگی ناپیوستگی‌ها باید گفت، در

نکته مهم آن است که ممکن است مقادیر مربوط به شاخص‌های هیدرولیکی و گسیختگی ارائه شده در این بخش غیر متعارف بوده و در عمل مشاهده نشود. یکی از مهمترین دلایل این مطلب، فرض آب‌بند نبودن درزهای شکاف اولیه سازی شده، در عمل نتیجه گرفت، زیرا مدل دو بعدی و در صفحه افقی است. در صورتی که مسئله ناپایداری در تکیه‌گاه سدهای قوسی، پدیدهای کاملاً سه بعدی است. هر چند تاثیرات روباره برای نزدیک شدن نتایج به حالت سه بعدی ملاحظه شده است.

در توجیه استفاده از مدل‌های دو بعدی و عدم شبیه‌سازی پرده آب‌بند در این تحقیق باید گفت که طبیعت توده سنگ درزه‌دار از نظر ساختار و وضعیت تنفس موجود در آن، تا حد زیادی ناشناخته است. بهمین دلیل شبیه‌سازی دقیق رفتار توده‌سنگ درزه‌دار مشکل و در مواردی ناممکن بوده و شبیه‌سازی هندسی سه بعدی و واقعی آن جز در موارد خاص - امکانپذیر نیست. در این حالت استفاده از روش‌های دو بعدی برای درک مهندسی بهتر از اثرات نسبی پدیده‌های مختلف در طراحی‌های مکانیک سنگ مؤثر است. از این طریق طراح می‌تواند محدوده خطر را (از نظر بارگذاریهای نامناسب یا شرایط گسیختگی) حدس بزند. از طرفی با توجه به حاکم بودن نقش درزه‌ها بر طبیعت رفتاری توده‌سنگ درزه‌دار، شایسته است قبل از پیش‌بینی و طراحی هرگونه روش بهسازی مانند تزریق پرده آب‌بند، شناختی کلی از خصوصیات هیدرولیکی و مقاومتی توده‌سنگ تکیه‌گاه تحت تأثیر پارامترهای مختلف درزه‌ها (بدون در نظر گرفتن پرده آب‌بند) حاصل شود.

## ۷- تفسیر نتایج

شکل ۴ نشان می‌دهد که به ازای اندازه شکاف اولیه هیدرولیکی  $0/5$  و صفر میلی‌متر برای هر زوج دسته درزه،

بیشینه مقادیر لغزش و بازشدگی در ناحیه بالا دست و در مجاورت محل تماس سد با تکیه گاه رخ می‌دهند که پایداری سازه سد را به مخاطره خواهد انداد. زیرا بلوك‌های موجود در این ناحیه در حال لغزش و جدائی از سایر بلوك‌ها هستند.

شکل ۸ نیز رفتاری شبیه به شکل ۷ دارد و نشان می‌دهد که در هر دو الگوی هندسی از دسته درزه‌ها مقادیر اندازه شکاف اولیه هیدرولیکی ناپیوستگی‌ها به عنوان مهمترین پارامتر هیدرولیکی توده سنگ درزه‌دار، تأثیر مشابهی بر شاخص گسیختگی تکیه گاه سدهای بتنی قوسی دارد. همچنین نتایج این بخش نشان می‌دهد که الگوی هندسی دسته درزه‌ها تعیین کننده نوع پدیده کننده طراحی تکیه گاه از نظر پایداری و نشت است. به عنوان مثال در حالت دسته درزه‌های  $+45$  و  $-45$  درجه هر دو مسئله نشت و ناپایداری مهم و تعیین کننده هستند، در حالی که برای دسته درزه‌های  $+90$  و صفر درجه فقط مسئله نشت حاکم بر طرح است.

## ۸- نتیجه‌گیری

در این مطالعه با شبیه‌سازی تکیه گاه سد بتنی قوسی و با تأکید بر نقش ناپیوستگی‌ها، میزان نشت و پاسخ هیدرولیکی تکیه گاه همراه با تأثیرات آنها بر این‌منی تکیه گاه بررسی و نتایج زیر حاصل شد:

- زاویه امتداد ناپیوستگی‌ها و بازشدگی اولیه آنها اثر قابل ملاحظه‌ای بر میزان نشت از تکیه گاه سدهای بتنی قوسی دارند.

- اثر جهت‌بایی زاویه امتداد (ناپیوستگی) ناپیوستگی‌ها به تنهایی و متعامد و غیر متعامد بودن آنها نسبت به جهت جریان آب، شکل و موقعیت هندسی تکیه گاه و جهت بار فشاری سد به تکیه گاه قابل بررسی و تفسیر است.

- شاخص بیشینه بازشدگی ناپیوستگی‌ها نمی‌تواند معیار مناسبی برای رفتارهای هیدرولیکی تکیه گاه باشد، زیرا همانند دو شاخص هیدرولیکی مهم بیشینه دبی عبوری

ناپیوستگی‌های با اندازه شکاف اولیه هیدرولیکی کم، سیال برای عبور از کانالهای ناپیوستگی، فشار زیادی به جدارهای آن اعمال می‌کند. این موجب افزایش بازشدگی ناپیوستگی‌ها می‌شود. در ادامه با افزایش اندازه شکاف اولیه هیدرولیکی شرایط برای عبور سیال از ناپیوستگی‌ها مساعدتر می‌شود. به همین دلیل فشار کمتری به جدارها وارد شده و بازشدگی ناپیوستگی‌ها کمتر دچار تغییر می‌شوند. با افزایش بیشتر اندازه شکاف اولیه، میزان نشت به شدت رشد می‌کند، به نحوی که در پایان به ناپایداری و افزایش میزان بیشینه بازشدگی ناپیوستگی‌ها منجر می‌شود. مقایسه دو شاخص هیدرولیکی نشت و بیشینه دبی عبوری از ناپیوستگی‌ها در شکل ۶ نشان می‌دهد که در حالت دسته درزه‌های  $+90$  و صفر درجه، بیشتر تراوش از سه ناپیوستگی رخ می‌دهد. محل این ناپیوستگی‌ها نیز در بالا دست سد و در مجاورت مخزن است. به عنوان مثال به ازای اندازه شکاف اولیه هیدرولیکی  $4$  میلی‌متر، مقدار دبی حداکثر عبوری برابر  $863$  لیتر بر ثانیه و مقدار کل نشت برابر  $3040$  لیتر بر ثانیه است؛ ضمن اینکه باز هم شاهد تفاوت رفتاری شاخص بیشینه بازشدگی با دو شاخص هیدرولیکی دیگر هستیم. همچنین نتایج تحلیلهای مربوط به تغییرات شاخص‌های هیدرولیکی، وجود یک ناحیه کششی خطرناک در بالا دست - که بیشترین میزان نشت و دبی از آنجا رخ می‌دهد - تأیید کرده و لزوم اقدامات لازم برای آبیند کردن آن قسمت را روشن می‌سازد.

در شکل ۷ شاخص گسیختگی بیشینه لغزش ناپیوستگی‌ها رفتاری کاملاً مشابه با شاخص هیدرولیکی بیشینه بازشدگی در شکل ۴ دارد. در محیط‌های ناپیوسته با ناپیوستگی‌های متقطع، بازشدگی در یک ناپیوستگی مستلزم لغزش در ناپیوستگی دیگر است. این نکته در توجیه تشابه رفتاری میان نمودارهای بیشینه بازشدگی و لغزش در مقابل تغییرات اندازه شکاف اولیه هیدرولیکی ناپیوستگی‌ها می‌تواند مفید باشد. بنابراین بیشینه بازشدگی ناپیوستگی‌ها می‌تواند شاخص گسیختگی نیز محسوب شود.

$\sigma_c$	مقاومت فشاری بلوک سنگی سالم
$\sigma_t$	مقاومت کششی ناپیوستگی
$\mu$	ویسکوزیته دینامیکی سیال
$\gamma$	ویسکوزیته سینماتیکی سیال

## ۱۰- منابع

یزدانی کچوئی، س. (۱۳۸۵). "بررسی تأثیر رفتار هیدرومکانیکی توده سنگ درزه دار برپایداری تکیه گاههای سدهای بتنی قوسی". پایان نامه کارشناسی ارشد، تهران، دانشگاه تربیت مدرس.

Barton, N., Bandis, B. and Bakhtar, K. (1985). "Strength deformation and conductivity of rock joints". International Journal of Rock Mechanics and Mining Sciences., 22(3), pp. 121-143.

Londe, P. (1987). "The Malpasset Dam Failure". Engineering Geology, 24(1), pp. 295-329.

Manual of UDEC, (2003). User's Guide, Section 1,"Introduction".

Mgalobelov, Yu.B. (1995). "Computational Studies of Rock Foundation of Arch Dams". Proc. Int. Conf. Rock Mechanics, Tokyo, Japan, pp. 75-87.

Savich, A.I., Bronshtein, V.I., Andreev, M., Gorshkov, Yu.M., Youndina, I.V. and Turina, I.A. (1993). "Comprehensive Monitoring in River Bed Portion of Ingury Dam Foundation". Proc. Int. Sym. Assessment and Prevention of Failure Phenomena in Rock Engineering, Istanbul, Turkey.

Stematiu, D., Bugnariu, T. and Constantinesco, A.L. (1995). "Rock Mechanics Problems Related to Three Arch Dams Founded on Faulted Rocks". Proc. MJFR\_2, Int. Conf. The Mechanics of Jointed and Faulted Rock, Vienna, Austria.

Stephansson, O. (2002). "The Role of Hydromechanical Coupling in Fractured Rock Engineering". Hydrogeology Journal, 42(3), pp. 95-123.

Thomas, H.H. and Rutqvist, J.(1976). The Engineering of Large Dams. John Wiley, New York, USA.

و نشت رفتار نمی‌کند. این شاخص در کنار شاخص بیشینه لغزش بیشتر می‌تواند رفتار گسیختگی تکیه‌گاه را نشان دهد.

- در حالتهایی که شاخص‌های هیدرولیکی نشان‌دهنده تراوش زیاد و رو به بینهایت باشند بهدلیل ایجاد ناپایداری برای تکیه‌گاه این شاخص‌ها می‌توانند خود نیز نوعی شاخص ایمنی باشند.

- بسته به امتداد دسته درزه‌ها نسبت به جهت بارگذاری، بیشتر تراوش می‌تواند از طریق یک یا چند ناپیوستگی در بالادست اتفاق بیفتد. این مسئله خطر تشکیل یک ناحیه کششی خطرناک در بالادست را - که بیشترین نشت در آنجا رخ می‌دهد - در پی دارد.

- شاخص گسیختگی بیشینه لغزش به خوبی وضعیت پایداری یا ناپایداری محیط توده سنگی تکیه گاه را توصیف می‌کند.

- پارامترهای هیدرولیکی تأثیر به سزایی بر رفتار مکانیکی توده سنگ درزه دار مانند بازشدگی و لغزش دارند. این مطلب به خوبی اهمیت ملحوظ کردن اندرکنش هیدرومکانیکی در تحلیل محیط‌های توده سنگی را نشان می‌دهد.

## ۹- فهرست علائم

$a$	ناپیوستگی
$a_0$	اندازه شکاف اولیه هیدرولیکی
C	چسبندگی جداره ناپیوستگی
E	مدول تغییر شکل بلوک سنگی
$e_0$	اندازه شکاف اولیه مکانیکی معادل ناپیوستگی
JRC	ضریب زیری جداره ناپیوستگی
JCS	مقاومت فشاری جداره ناپیوستگی
$k_s$	سختی برشی ناپیوستگی
$k_n$	سختی نرمal ناپیوستگی
$\psi$	زاویه اتساع ناپیوستگی
$\varphi$	زاویه اصطکاک جداره ناپیوستگی